

金沢大学工学部 学生会員。福嶋 優
 金沢大学工学部 正会員 梶川 康男
 金沢大学工学部 正会員 吉田 博

1. まえがき

鉄筋コンクリート(RC)とプレストレストコンクリート(PCI)構造物の解析にあたって、本研究では梁要素の挙動を数値解析することを目標とし、梁の荷重載荷試験を行なってモデル化や仮定の妥当性を判断した。

2. 解析手法

梁は2次元平面応力問題として考え、三角形一次要素を用いた非弾性有限要素解析で、荷重増分解析を行なった。

a) 材料のモデル化 コンクリートの材料非線形性を表わすのにDarwin-Pecknold¹⁾の等価一軸ひずみの概念を用いた。これによりコンクリートは直交異方性であると仮定し、それがその主応力方向について各荷重ステップで順次、接線弾性係数を求めてゆき、次のDarwinとPecknoldにより提案された式を主応力方向の応力-ひずみ関係として計算を進める。

$$\begin{bmatrix} d\sigma_1 \\ d\sigma_2 \\ d\sigma_{12} \end{bmatrix} = \frac{1}{1-\mu_{12}} \begin{bmatrix} E_1 & \mu_{12}\sqrt{E_1 E_2} & 0 \\ & E_2 & 0 \\ \text{Symmetric} & & (E_1 + E_2 - 2\mu_{12}\sqrt{E_1 E_2})/4 \end{bmatrix} \begin{bmatrix} d\varepsilon_1 \\ d\varepsilon_2 \\ d\varepsilon_{12} \end{bmatrix}$$

ここで E_1, E_2 は接線弾性係数で、 μ_{12} は $\mu_1^2 = \mu_2^2$ である。 μ_1 と μ_2 はボアソン比である。

この時、解析に必要な材料データは、一軸圧縮載荷試験によって得られるものである。

b) 破壊規準 図-1に修正二軸強度包絡線²⁾を示した。図の縦軸は最大主応力、横軸は最小主応力を無次元量化したもので、主応力比 $\alpha (= \sigma_1/\sigma_2)$ により4つの領域に分けて、各増分荷重ステップにおいて、それがその主応力が図の包絡線を越えた時に破壊とする。引張による破壊の場合は、最大主応力と垂直な方向にクラックが入ると仮定するSmeared Cracking Model²⁾を使い、ひび割れ後は、次の荷重ステップでひび割れ直角方向の剛性をゼロとし、等価な節点力として応力を解放した。

c) PCIの場合 RCの場合と違い、荷重載荷前にプレストレス力が作用しているので、これを表わすために解析では、初期状態で鉄筋には引張力を、コンクリートの鉄筋位置には圧縮力方向の力を与えた。また、ポストテンション方式の場合は、RCやプレテンション方式の場合と違い、コンクリートと鉄筋の間に付着がないものとし、これを表わすのに鉄筋要素をコンクリートと同じように分割せず、図-2のように両端にしか節点を持たない1つの要素として扱った。

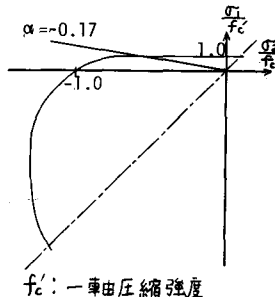


図-1 破壊規準

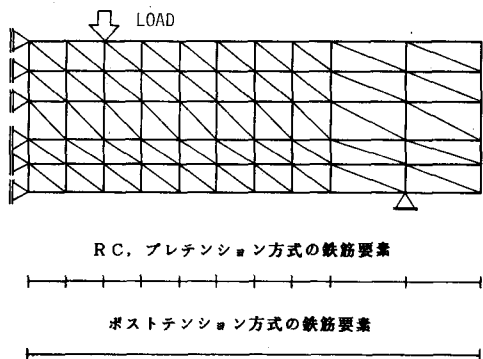


図-2 要素分割

3. 実験方法

図-3に示すように実験供試体は、RC・PC(プレテンションヒポストテンション)の3種類で、それぞれ長さ125cm、高さ20cm、幅15cm、鉄筋は丸鋼16mmを2本、かぶり3cmのものを2体ずつ合計6体製作した。荷重は、図-3に示すように単純支持間隔を100cmとして、スパン中央より左右10cmの位置に2点載荷しスパン中央部下、変位計により梁のたわみを測定した。なお、PCばかりでは載荷直前にプレストレス(6t)を導入した。

4. 解析と実験の比較

解析手法の検証のために、二羽⁽³⁾による解析モデル検証用試験体について計算した。その結果を図-4に示す。よく一致しており解析手法の妥当性が確認できた。図-5～図-7に3種類の梁の荷重-たわみ曲線を示した。なお、解析ははり中央付近の要素が破壊するまで行なった。RC(図-5)については、解析において鉄筋が降伏する7t付近までは実験値と解析値がほぼ一致している。プレテンション方式(図-6)の場合、クラックが発生し応力解放を行なった後、8t付近までは実験値と解析値をほぼ説明出来た。この2種類については、鉄筋降伏前の挙動を追跡出来たと思われる。今回、降伏後のひずみ硬化を考えていなかったこともあり、降伏後の挙動については実験値とやや異なった結果となった。ポストテンション方式(図-7)では、7t付近まで1本の実験値と似た軌跡を描いて10.6tまで計算出来たが、その後の挙動については解析出来なかった。

現段階では、解析で鉄筋とコンクリートの間を完全付着とし、すべり挙動を考慮するに至っていないので、今後この付着-すべり関係の取扱いについて検討する必要がある。

- 〈参考文献〉 1) D.Darwin, And D.A.Pecknold, ANALYSIS OF RC SHEAR PANELS UNDER CYCLIC LOADING, Proc. of ASCE, Vol.102, No. ST2, 1976, pp355-369
 2) C.F.Chen, Plasticity in Reinforced Concrete, McGraw-Hill, 1982
 3) 二羽淳一郎, 「はり選定試験体」選定理由および実験データの概要, 第2回RC構造のせん断問題に対する解析的研究に関する colloquium 解析モデル検証用試験体実験データ集, 1983

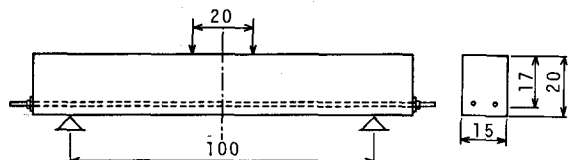


図-3 荷重載荷方法および供試体

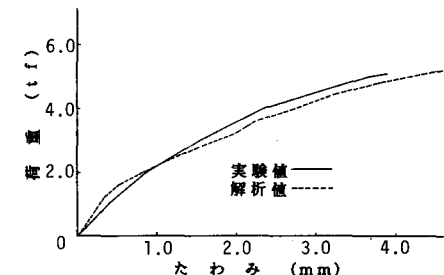


図-4 荷重-たわみ曲線(検証データ)

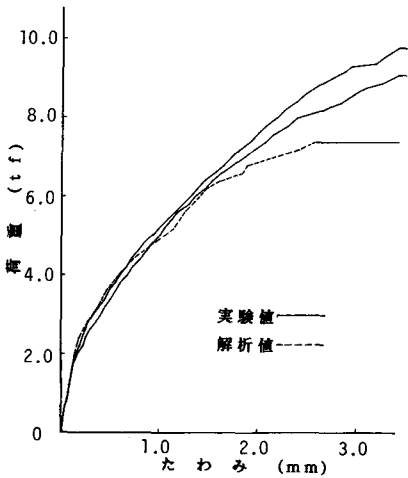


図-5 荷重-たわみ曲線(RC)

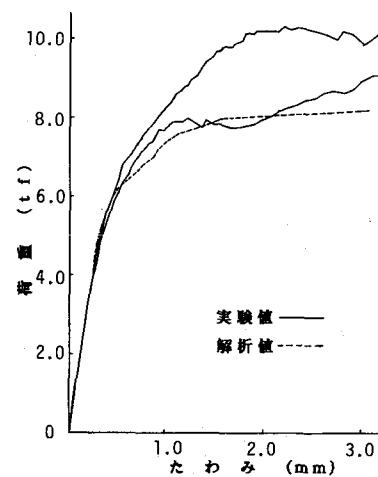


図-6 荷重-たわみ曲線(プレテンション方式)

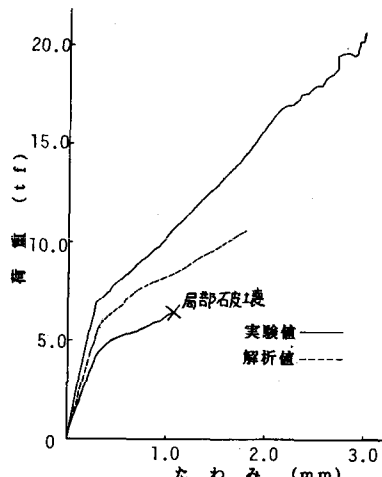


図-7 荷重-たわみ曲線(ポストテンション方式)